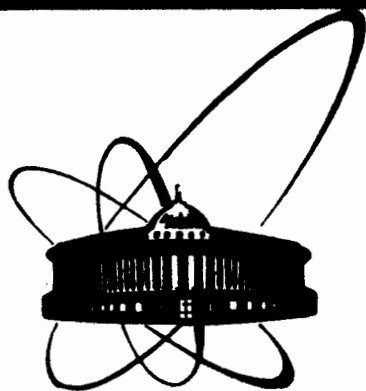


87-203.



**СООБЩЕНИЯ  
ОБЪЕДИНЕННОГО  
ИНСТИТУТА  
ЯДЕРНЫХ  
ИССЛЕДОВАНИЙ  
ДУБНА**

P6-87-203

И.Адам\*, В.Вагнер\*, М.Гонусек\*,  
М.И.Кривоустов, В.А.Морозов

**ОПИСАНИЕ ПРОГРАММЫ ZORKA  
ДЛЯ ВЫЧИСЛЕНИЯ НА ЭВМ  
ФИЗИЧЕСКИХ КОНСТАНТ  
ОСНОВНОГО И КВАДРУПОЛЬНЫХ  
ВИБРАЦИОННЫХ СОСТОЯНИЙ И ПЕРЕХОДОВ  
В ЧЕТНО-ЧЕТНЫХ ДЕФОРМИРОВАННЫХ ЯДРАХ**

---

\* Институт ядерной физики Чехословацкой академии наук,  
Ржеж

**1987**

## ВВЕДЕНИЕ

В наших работах <sup>1,2/</sup> проведено систематическое рассмотрение вопросов, относящихся к определению физических констант ядерной структуры основного и квадрупольных вибрационных состояний и переходов в четно-четных деформированных ядрах. Впервые получены общие формулы для определения приведенных вероятностей магнитных (M1)-<sup>1/</sup> и электрических (E2)<sup>2/</sup> внутриволновых и междуволновых переходов в предположении смешивания волновых функций в рамках теории возмущений.

В настоящей публикации, которая вместе с работами <sup>1,2/</sup> составляет единый цикл, описана программа ZORKA, позволяющая на основе экспериментальных данных о значениях приведенных вероятностей  $B(E2)$ ,  $B(M1)$  или их отношений определять физические константы основного и квадрупольных вибрационных состояний и  $\gamma$ -переходов в четно-четных деформированных ядрах.

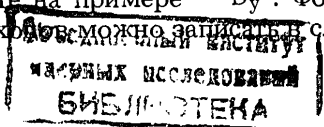
## О ПРОГРАММЕ ZORKA

Сравнение экспериментальных и вычисленных данных по приведенным вероятностям E2- и M1-переходов производится с помощью составленной нами для ЭВМ программы. В первую очередь рассматриваются E2-переходы, и на основе полученных результатов можно перейти к анализу M1-переходов.

Переходы, разряжающие ротационные уровни  $\beta$ - и  $\gamma$ -вибрационных полос, обычно являются почти чистыми E2-переходами с возможной примесью M1-мультипольности, достигающей нескольких процентов. Когда эта примесь определена экспериментально, то есть установлен параметр смешивания  $\delta$ , вычисляем долю E2-мультипольности по формуле

$$I_{\gamma}(E2) = I_{\gamma} \frac{\delta^2}{1 + \delta^2}. \quad (1)$$

Важность учета M1-мультипольности будет показана в настоящей работе на примере  $^{160}\text{Dy}$ . Формулы для приведенных вероятностей E2-переходов можно записать в следующем виде:



$$Y^2 = B(E2; I_i K_{q_i} \rightarrow I_f K_{q_f}) = \langle I_i K_i, 2, K_f - K_i | I_f K_f \rangle^2 Q_{q_i q_f}^2 \times (1 + (\delta_{k_i,0} - \delta_{k_f,0})) \{1 + \mathcal{F}(p_1, \dots, p_n, I_i, I_f)\}^2, \quad (2)$$

где  $p_i$  - параметры теории возмущений ( $Z_\beta, Z_\gamma, \dots$ ). Если нам не известно абсолютное значение  $B(E2)$ , но мы знаем  $I_\gamma(E2)$ , тогда получим уравнение, аналогичное формуле (2), то есть

$$Y^2 = \frac{I_\gamma(E2; I_i K_{q_i} \rightarrow I_f K_{q_f})}{E_\gamma^5} = \alpha_i^2 B(E2; I_i K_{q_i} \rightarrow I_f K_{q_f}), \quad (2')$$

где  $\alpha_i$  - нормировочный коэффициент  $i$ -того уровня.

Вычисления параметров  $Q_{q_i q_f}$  (или их отношений),  $\alpha_i$  и  $p_i$ , которые обозначим через  $\theta$ , производятся методом наименьших квадратов для нелинейной функции, разлагаемой в ряд Тейлора в окрестности точки  $\theta_0$ .

В каждой итерации решается уравнение

$$(\theta - \theta_0) = (A'WA)^{-1} A'W(Y - Y_0), \quad (3)$$

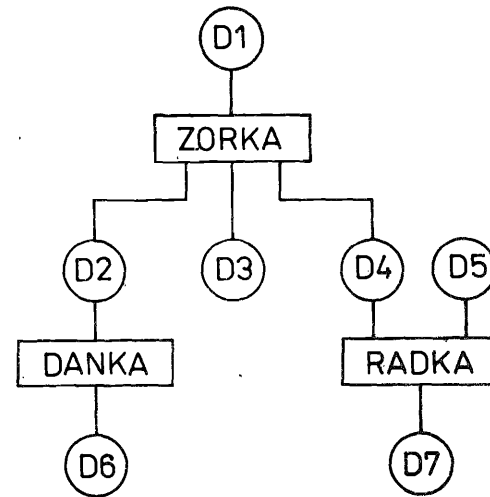
где элементы матрицы  $A$  равны  $\{A\}_{ik} = (\frac{\partial Y_i}{\partial \theta_k})_{\theta_0}$ ,  $W_{ii} = 1/(\Delta Y_i)^2$ ,  $W_{ij} = 0$  (если  $i \neq j$ ) для ошибок  $\Delta Y_i$  величины  $Y_i$ ;  $Y_0$  - значение  $Y$  в точке  $\theta_0$ . Следующая итерация начинается с точки  $\theta_0 = \theta$ . Начальные значения величины  $\theta_0$  для итерационного процесса выбираем на основе адиабатического приближения.

После вычисления параметров  $\theta_i$  и матрицы ошибок  $D(\theta) = (A'WA)^{-1}$  (в случае  $\chi^2 > 1$  матрица  $D(\theta)$  заменяется матрицей  $D(\theta) \cdot \chi^2$ ) определяем значения  $Y_i$  и их ошибок  $(\Delta Y_i)^2 = A(Y_i)D(\theta)A'(Y_i)$ . Далее производим сравнение экспериментальных и вычисленных абсолютных и относительных значений приведенных вероятностей.

Для определения величин  $Q_{gg}, Q_\beta$  и  $Q_\gamma$  обычно используем экспериментальные значения:  $B_{\text{exp}}(E2; 2^+O_g \rightarrow 0^+O_g)$ ,  $B_{\text{exp}}(E2; 2^+2_\gamma \rightarrow 0^+O_g)$  и  $B_{\text{exp}}(E2; 2^+O_\beta \rightarrow 0^+O_g)$ .

Когда установлены значения параметров  $Z_q$  и матричных элементов  $Q_{qq'}$ , определяем по программе DANKA коэффициенты смешивания  $\epsilon_{qq'}$  из соотношений (13) ÷ (15), приведенных в нашей работе [2], и таким образом конкретизируем волновую функцию  $|K_q I\rangle$  (см. формулу (32) в работе [1]). Знание параметров  $Z_q$  и  $Q_{qq'}$  позволяет предсказать значения интенсивностей ненаблюдаемых переходов, установить абсолютные значения вероятностей  $B(XL; I_i \rightarrow I_f)$  для всех переходов и вычислить времена жизни  $P, P_\gamma$  и  $T_{1/2}$  рассматриваемых уровней при помощи программы RADKA. Описание величин  $B(XL; I_i \rightarrow I_f)$ ,

$P_\gamma(XL)$ ,  $P$  (уровня) и  $T_{1/2}$  (уровня) дано в [1], см. формулы (1), (2), (5) и (6).



На рис. 1 показана структура программы ZORKA, которая написана на языке Фортран и реализована на ЭВМ Хьюлетт-Паккард модели 1000. Входные данные для этой программы записываются в следующем виде.

Рис. 1. Структура программы ZORKA для вычисления приведенных вероятностей, интенсивностей ненаблюдаемых переходов и времени жизни возбужденных состояний ядер.

$D1$  - входные данные программы. Первая строка содержит наборы параметров  $NV(1) \div NV(4)$ , которые определяют выбранный вариант расчета. Вариант  $NV(1)$  означает, что рассматриваются приведенные вероятности  $E2$ -переходов между  $\gamma$ -полосой и полосой основного состояния;  $NV(2)$  - переходы между  $\beta$ -полосой и полосой основного состояния;  $NV(3)$  - внутриволновые переходы;  $NV(4)$  - переходы между  $\beta$ -полосой и  $\gamma$ -полосой. В табл. 1 приведены значения параметров  $NV(1) \div NV(4)$ , которые определяют вид формул для расчетов приведенных вероятностей. Вторая и третья строки содержат характеристики  $\gamma$ -переходов, полученные из экспериментальных данных:  $2I_i, 2I_f, 2K_i, v_i, 2K_f, v_f, \frac{X}{E_\gamma}, s(E_\gamma), I_\gamma, s(I_\gamma), B(XL), s(B(XL)), \alpha_{tot}$ , где величины  $v_i, v_f$  определяют принадлежность перехода к данной ротационной полосе и к конкретной (анализируемой) работе;  $B(XL)$  - измеренные абсолютные значения приведенных вероятностей переходов;  $E_\gamma$  и  $I_\gamma$  - энергия и относительная интенсивность  $\gamma$ -переходов, а  $s(E_\gamma), s(I_\gamma)$  и  $s(B(XL))$  - ошибки в определении величин  $E_\gamma, I_\gamma$  и  $B(XL)$ . В случае, когда не известны значения  $I_\gamma$  или  $B(XL)$ , этим величинам присваивается значение (-1). Набор данных для всех известных переходов согласно второй и третьей строкам заканчивается числом (-2). Далее следуют характеристики возможных  $\gamma$ -переходов:  $2I_i, 2I_f, 2K_i, v_i, 2K_f, v_f, L, E_\gamma, s(E_\gamma)$  и  $\alpha_{tot}$ ; этот набор заканчивается числом (-1);

$D2$  - результаты расчета по программе ZORKA, необходимые для программы DANKA, содержащие значения параметров  $\alpha_i, Q_{qq'}, P_i$ , матрицу ошибок  $D(\theta)$  и характеристики переходов;

нужно задать (2X)!

Значение параметра	-1	0	1	2	3	4	5	6
NV(1)	a	$Z_\gamma(Z_\gamma) = Z_\gamma(O_g) = Z_{\beta\gamma} = 0$	$Z_\gamma(Z_\gamma) = Z_\gamma(O_g)$ $Z_{\beta\gamma} = 0$	$Z_\gamma(Z_\gamma) = Z_\gamma(O_g)$ $Z_{\beta\gamma} = 0$	$Z_{\beta\gamma} = 0$	$Z_\gamma(Z_\gamma) = Z_\gamma(O_g)$	$Z_\gamma(Z_\gamma) = Z_\gamma(O_g)$	6
NV(2)	a	$Z_\beta(O_\beta) = Z_\beta(O_g) = \xi_{\beta\gamma} = 0$	$Z_\beta(O_\beta) = Z_\beta(O_g)$ $\xi_{\beta\gamma} = 0$	$Z_\beta(O_\beta) = Z_\beta(O_g)$ $\xi_{\beta\gamma} = 0$	$\xi_{\beta\gamma} = 0$	$Z_\beta(O_\beta) = Z_\beta(O_g)$	$Z_\beta(O_\beta) = Z_\beta(O_g)$	6
NV(3)	a	$\alpha_\beta = \alpha_\gamma = \alpha_{\beta\gamma} = 0$	$\alpha_{\beta\gamma} = 0$	$\alpha_{\beta\gamma} = 0$	$\alpha_{\beta\gamma} \neq 0$	-	-	-
NV(4)	a	$Z'_\beta = Z'_\gamma = Z_{\beta\gamma}(Z_\gamma) = Z_{\beta\gamma}(O_\beta) = 0$	$Z'_\beta(Z_\gamma) = Z_{\beta\gamma}(Z_\gamma) = Z_{\beta\gamma}(O_\beta) = 0$	$Z'_\beta(Z_\gamma) = Z_{\beta\gamma}(Z_\gamma) = Z_{\beta\gamma}(O_\beta) = 0$	$Z'_\beta(Z_\gamma) = Z_{\beta\gamma}(Z_\gamma) = Z_{\beta\gamma}(O_\beta) = 0$	$Z'_\beta(Z_\gamma) = Z_{\beta\gamma}(Z_\gamma) = Z_{\beta\gamma}(O_\beta)$	$Z'_\beta(Z_\gamma) = Z_{\beta\gamma}(Z_\gamma) = Z_{\beta\gamma}(O_\beta)$	при помощи $Z_\beta, Z_\gamma, Z_{\beta\gamma}, \dots$

а) Вычисление параметров для данной полосы не производится.

б) С учетом поправки, рассмотренной в работе <sup>13f</sup>.

D3 — результаты расчета по программе ZORKA, содержащие параметры  $\alpha_i, Q_{qq}$  и  $P_i$ ; сравнение вычисленных и экспериментальных значений  $B(XL)$  и вычисленные интенсивности переходов, не обнаруженных экспериментально;

D4 — результаты расчета по программе ZORKA для программы RADKA;

D5 — дополнительные данные для программы RADKA: характеристики уровней  $I, K, \theta$  и  $E$ ; этот набор заканчивается числом (-1);

D6 — результаты расчета по программе DANKA, которые содержат значения матричных элементов, параметров смешивания, параметров теории возмущения и интенсивности переходов, не обнаруженных экспериментально;

D7 — результаты расчета по программе RADKA: времена жизни возбужденных состояний.

Использование программы ZORKA проиллюстрировано на примере изотопа диспрозий-160 при анализе интенсивностей  $\gamma$ -переходов <sup>14f</sup>, связанных с  $\gamma$ -вибрационной полосой. Применяя правила Алаги, получаем  $\chi^2 = 99$ ; при расчете  $B(E2)$  с одним параметром  $Z_\gamma$  величина  $\chi^2$  равна 2,3. Используя данные о параметрах  $\delta^2$ , которые приведены в работе <sup>15f</sup>, для интенсивностей всех переходов получим поправку меньше 3% (за исключением перехода с энергией 872,09 кэВ, у которого доля E2-мультипольности составляет около 30%), тогда при вычислении параметра  $Z_\beta$  величина  $\chi^2$  равна 8,7. Переход с энергией 872,09 кэВ имеет малую интенсивность (0,79 ед.) и находится в  $\gamma$ -спектре вблизи самого интенсивного (100 ед.) перехода с энергией 879,370 кэВ; поэтому можно предположить, что при вычислении параметра  $\delta^2$  (872,09 кэВ) имеет место систематическая ошибка, которая не учитывалась авторами работы <sup>15f</sup>. С учетом этого принимаем  $\delta^2(872,09 \text{ кэВ}) = \infty$ , тогда при вычислении параметра  $Z_\gamma$  имеем  $\chi^2 = 1,5$ .

Добавляя к данным об интенсивностях  $I_\gamma$ , полученным в работе <sup>4f</sup>, и о параметрах  $\delta^{2f5f}$  ( $\delta^2(872,09 \text{ кэВ}) = \infty$ ) сведения о средневзвешенных значениях квадрупольного момента  $Q_{gg} = 7,21(10) e^6$ , приведенных вероятностях  $B(E2; 0^+ 0_g \rightarrow 2^+ 2_\gamma) = 0,114(8) e^2 6^2$  и  $B(E2; 0^+ 0_g \rightarrow 2^+ 0_\beta) = 0,00184(15) e^2 6^2$ , установленных в работе <sup>6f</sup>, проводим вычисления некоторых физических констант (см. табл. 2). Расчеты выполнены для случая, когда переходы  $\beta$ - и  $\gamma$ -полос анализируются независимо (вариант I); если они рассматриваются совместно, то вычисления проводятся по формулам (5) и (7) (вариант II) или по формулам (5') и (7') (вариант III), которые получены в нашей работе <sup>2f</sup>. Из табл. 2 видно, что значения для трех вариантов расчетов мало отличаются друг от друга; введение поправки в соответствии с работой <sup>3f</sup> (вариант III) проявляется незначительно, так как рассматриваются переходы, разряжающие уровни с малым значением спина ( $I_i \leq 5$  для  $\gamma$ -полосы,  $I_i = 2$  для  $\beta$ -полосы).

Таблица 2

Значения параметров для различных вариантов расчета

Параметры	Номер варианта		
	I	II	III
$\chi^2$	a	0,291	0,285
$10^3 Z_\beta$	-14 (6)	-14 (6)	-14 (6)
$10^3 Z_\gamma$	43,8 (20)	43,8 (20)	43,3 (20)
$10^3 Z_{\beta\gamma}$	-3,5 (14)	-3,5 (14)	-3,5 (17)
$Q_{gg}$	2,27 (3)	2,27 (3)	2,27 (3)
$Q_\beta$	0,125 (6)	0,125 (6)	0,125 (6)
$Q_\gamma$	0,251 (9)	0,252 (9)	0,252 (9)
$10^3 \epsilon_\beta$	0,79 (29)	0,79 (29)	0,79 (29)
$10^3 \epsilon_\gamma$	-0,99 (6)	-0,99 (6)	-0,98 (6)
$10^3 \epsilon_{\beta\gamma}$	2,9 (12)	2,9 (12)	3,6 (14)
$10^3 \epsilon_{a\beta}$		-0,043 (15)	-0,043 (15)
$10^3 a_\gamma$		0,0182 (17)	0,0181 (16)
$10^3 a_{\beta\gamma}$			0,0031 (13)

Примечание: а) параметр  $\chi^2 = 1,05$  для переходов  $\beta$ -полосы и  $\chi^2 = 0,038$  для переходов  $\gamma$ -полосы.

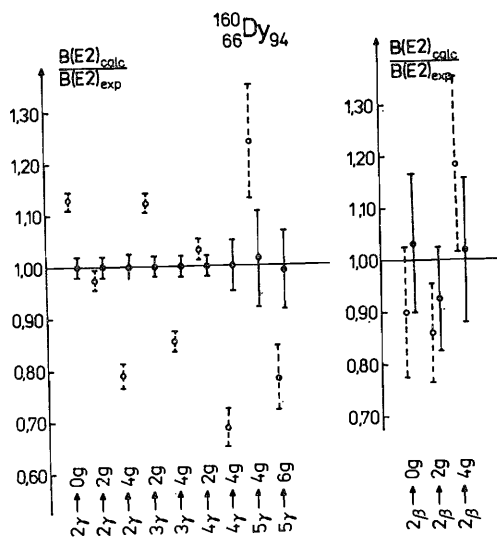


Рис. 2. Отношение вычисленных и экспериментальных значений приведенных вероятностей  $B(E2)$  для переходов из  $\beta$ - и  $\gamma$ -полос.  $\bullet$  - параметры смешивания при вычислениях  $B(E2)$  принимали значения, указанные в табл. 2 (вариант III),  $\circ$  - вычисления с учетом правила Алаги.

В предположении, что смешивание волновых функций между  $\beta$ - и  $\gamma$ -полосами отсутствует (то есть  $\epsilon_{\beta\gamma} = 0$ ), можно установить разницу между  $Q_{gg}$  и  $Q_{\gamma\gamma}$ ; она равна  $[Q_{\gamma\gamma} - Q_{gg}]/Q_{\gamma\gamma} = -0,16(5)$ , что согласуется с данными работы [7], где получено  $Q_{\gamma\gamma} = 6,6(5) e \cdot b$ .

Отношение вычисленных величин к экспериментальным значениям приведенных вероятностей  $B(E2)$

для переходов из  $\beta$ - и  $\gamma$ -полос (вариант III, табл. 2) показано на рис. 2 (черные кружки). Отношения, полученные с применением правила Алаги для вычислений приведенных вероятностей, обозначены светлыми кружками.

В настоящее время продолжается использование описанной программы ZORKA для систематики  $B(E2)$ -переходов, связанных с  $\beta$ - и  $\gamma$ -полосами и полосой основного состояния изотопов эрбия ( $Z = 68$ ) и изотопов с  $N = 94$ .

## ЗАКЛЮЧЕНИЕ

Анализ экспериментальных значений приведенных вероятностей  $B(E2)$ - и  $B(M1)$ -переходов, разряжающих ротационные уровни  $\beta$ - и  $\gamma$ -вибрационных полос в рамках теории, которая учитывает смешивание волновых функций этих состояний, позволяет определить физические константы переходов и состояний. Знание физических констант имеет важное значение при исследовании структуры четно-четных деформированных ядер.

Измерение параметров смешивания с хорошей точностью для большого числа  $\gamma$ -переходов, идущих из  $\beta$ -,  $\gamma$ - и  $g$ -ротационных полос, необходимо для корректного сравнения вычисленных и экспериментальных значений  $B(E2)$ , а также для нахождения  $B(M1)$ .

С помощью недавно созданной многодетекторной установки угловых корреляций МУК<sup>8/</sup> в ряде других задач можно эффективно проводить определение параметров смешивания для большого числа  $\gamma$ -переходов одновременно. Поэтому рассмотренные в публикациях [1, 2] и в настоящей работе вопросы, включая программу ZORKA для ЭВМ, помогут планированию и обоснованию экспериментов, предлагаемых для выполнения на установке МУК по программе ЯСНАП-2 на фазотроне Лаборатории ядерных проблем ОИЯИ. Оценки времени жизни отдельных  $\gamma$ -переходов, полученные с помощью программы ZORKA, будут использованы с целью выбора некоторых из них для измерения методом доплеровского смещения энергий  $\gamma$ -квантов на пучке ионов циклотрона У-120М Института ядерной физики ЧСАН (Ржеж).

В заключение один из авторов (М.И.К.) выражает признательность Мосинцевой Л.П. за помощь в оформлении работ [1, 2] и настоящей публикации. Авторы благодарят К.Я.Громова, Ц.Вывлова, В.Г.Калинина за внимание и поддержку.

## ЛИТЕРАТУРА

1. Адам И. и др. Сообщение ОИЯИ Р6-87-201, Дубна, 1987.
2. Адам И. и др. Сообщение ОИЯИ Р6-87-202, Дубна, 1987.
3. Rud N. et al. - Nucl. Phys., 1971, A167, p.401.

4. Адам И. и др. – В сб.: Тезисы докладов XXXVI Совещания по ядерной спектроскопии и структуре атомного ядра (Харьков). Л.: Наука, 1986, с.119.
5. Громова И.И. и др. – Известия АН СССР, сер. физ., 1979, 43, с.26.
6. Бегжанов Р.Б., Бельский Б.М. Гамма-спектроскопия атомных ядер. Ташкент: ФАН, 1980.
7. Forker M. et al. – Nucl. Phys., 1969, A138, p.97.
8. Абросимов В.Н. и др. Сообщение ОИЯИ Р6-86-320, Дубна, 1986;  
Абросимов В.Н. и др. В сб.: Ядерная спектроскопия и структура атомного ядра (тезисы докладов XXXVII совещания, Юрмала, апрель 1987 г.). Л.: Наука, 1987, с.539.

Рукопись поступила в издательский отдел  
31 марта 1987 года.

Адам И. и др. Р6-87-203  
Описание программы ZORKA для вычисления на ЭВМ физических констант основного и квадрупольных вибрационных состояний и переходов в четно-четных деформированных ядрах

Разработана программа ZORKA, позволяющая на основе экспериментальных данных о значениях приведенных вероятностей  $B(E2)$ ,  $B(M1)$  или их отношений определять физические константы основного и квадрупольных вибрационных состояний и  $\gamma$ -переходов в четно-четных деформированных ядрах. Предполагается смешивание волновых функций ротационных уровней основного,  $\beta$ - и  $\gamma$ -вибрационных состояний. Расчеты по программе ZORKA проводятся с использованием метода наименьших квадратов.

Работа выполнена в Лаборатории ядерных проблем ОИЯИ.  
Сообщение Объединенного института ядерных исследований. Дубна 1987

Перевод авторов

Adam J. et al. Р6-87-203  
The Description of the ZORKA Program for the Computer Calculation of the Physical Constants of the Ground State and Quadrupole Vibrational States and Transitions in Even-Even Deformed Nuclei

The program is described for calculation (from experimental values of reduced probabilities  $B(E2)$ ,  $B(M1)$  or their ratios) of the "physical constants" of the ground and quadrupole vibrational states and of gamma-transitions in even-even deformed nuclei. There was assumed the mixing of the wave function of ground,  $\beta$ - and  $\gamma$ -vibrational states. Calculations in the program ZORKA are based on the least-square method.

The investigation has been performed at the Laboratory of Nuclear Problems, JINR.

Communication of the Joint Institute for Nuclear Research. Dubna 1987